LABORATORIUM BADAWCZE PEM

Laboratorium EMVO Sp. J. Urbański, Pawelak
ul. Jasna 1 00-013 Warszawa

Laboratorium EMVO
ul. Mostowa 1, 80-778 Gdańsk

AB 1630

Sprawozdanie z pomiarów pól elektromagnetycznych - środowisko nr 21/11/OŚ/2026-P4-W



Nr i nazwa stacji	**GRA4480A**	
Adres	**Wąsosz, dz. nr 504, pow. grajewski, woj. podlaskie**	
Opracowanie	**Wiesław Laskowski**	**Specjalista ds. pomiarów**
Autoryzacja	**Andrzej Urbański**	**Kierownik Laboratorium**
Podpis	Podpis jest prawidłowy Dokument podpisany przez Andrzej Urbański; Laboratorium EMVO Data: 2026.11.18 07:55:22 CET	
Data	**2026-11-13**	

„Bez pisemnej zgody Laboratorium niniejsze sprawozdanie nie może być powielane inaczej, jak tylko w całości. Ponadto wyniki dotyczą tylko badanych obiektów przywołanych w niniejszym sprawozdaniu z badań”

Spis treści

1. Informacje ogólne. 3
2. Podstawa prawna. 3
3. Opis pomiarów 3
4. Zróżnicowanie dopuszczalne poziomy pól elektromagnetycznych. 5
5. Charakterystyka źródeł PEM. 5
6. Wyniki pomiarów. 6
7. Stwierdzenie zgodności 8
8. Oświadczenie. 8
9. Spis załączników. 8

„Bez pisemnej zgody Laboratorium niniejsze sprawozdanie nie może być powielane inaczej, jak tylko w całości. Ponadto wyniki dotyczą tylko badanych obiektów przywołanych w niniejszym sprawozdaniu z badań”

1. Informacje ogólne.

Zleceniodawca – podmiot udzielający informacji	**P4 Sp. z o.o.**, ul. Wynalazek 1, 02-677 Warszawa
Istotne informacje dostarczone przez klienta	komplet informacji niezbędnych do wykonania pomiarów i opracowania sprawozdania
Dane otrzymane od klienta mogące mieć wpływ na ważność wyników	dane anten sektorowych, dane anten radioliniowych, parametry pracy instalacji (w tym moce EIRP), ustawienie pochylenia anten, nazwa/nr obiektu, lokalizacja (adres) instalacji, współrzędne geograficzne instalacji
Prowadzący instalację	**P4 sp. z o.o.**, ul. Wynalazek 1, 02-677 Warszawa
Lokalizacja obiektu	Wąsosz, dz. nr 504, pow. grajewski, woj. podlaskie
Miejsce instalacji anten	wieża kratowa
Miejsce instalacji urządzeń	outdoor
Osoby wykonujące pomiar	Bartosz Powroźnik
Data wykonania pomiaru	13.11.2026
Temperatura na początku pomiaru [°C]	3
Temperatura na koniec pomiaru [°C]	3
Warunki atmosferyczne	brak opadów
Wilgotność na początku pomiaru [%]	89
Wilgotność na koniec pomiaru [%]	84
Godzina rozpoczęcia pomiaru	9.43
Godzina zakończenia pomiaru	10.57
Inne źródła pól elektromagnetycznych oznaczone na załączniku graficznym	występują
Parametry pracy instalacji – informacja od klienta	tryb eksploatacyjny

2. Podstawa prawna.

2.1 Normy i rozporządzenia:

- Ustawa z dnia 27 kwietnia 2001 r. Prawo Ochrony Środowiska (Dz.U. 2026 poz. 1453)
- Rozporządzenia Ministra Zdrowia z dnia 17 grudnia 2019 r. w sprawie dopuszczalnych poziomów pól elektromagnetycznych w środowisku (Dz. U. z 2019 r., poz. 2448),
- Rozporządzenie Ministra Klimatu z dnia 17.02.2020 r. w sprawie sposobów sprawdzania dotrzymania dopuszczalnych poziomów pól elektromagnetycznych w środowisku (Dz. U. z 2022 r., poz. 2630).

3. Opis pomiarów

Metodologia pomiarowa	Pomiary w oparciu o Rozporządzenie Ministra Klimatu z dnia 17 lutego 2020 r. w sprawie sposobów sprawdzania dotrzymania dopuszczalnych poziomów pól elektromagnetycznych w środowisku (Dz.U. 2022 poz. 2630).
Cel badań	Sprawdzenie dotrzymania dopuszczalnych poziomów pól elektromagnetycznych w środowisku.

„Bez pisemnej zgody Laboratorium niniejsze sprawozdanie nie może być powielane inaczej, jak tylko w całości. Ponadto wyniki dotyczą tylko badanych obiektów przywołanych w niniejszym sprawozdaniu z badań”

Opis zestawu pomiarowego	Miernik Narda NBM 550 nr F-0303 - 01/WL, Sonda EF-6092 nr A-0061 - 02WL, o zakresie pomiarowym 0,7 V/m –300V/m pracująca w paśmie 0,1 – 90 GHz, świadectwo wydane przez Laboratorium Wzorców i Metrologii Pola Elektromagnetycznego, Instytut Telekomunikacji, Teleinformatyki i Akustyki Politechniki Wrocławskiej. Świadectwo wzorcowania LWiMP/W/203/24 ważne do 06.06.2027 Miernik Narda NBM 550, Sonda EF-6092 pracująca w zakresie temperatury -10°C - +50°C oraz wilgotności 5% - 95%. Niepewność rozszerzona wynosi 59,6% przy poziomie ufności 95% z uwzględnieniem współczynnika rozszerzenia k=2.
Wyposażenie pomocnicze	Termohigrometr BESTONE nr BE807 EF1222013 - WL/07. Sprawdzany okresowo. Dalmierz laserowy BOSCH Professional GLM 40 nr 328411710 - WL/60. Sprawdzany okresowo. GPS Garmin 65 nr 6QA008957 - WL/54. Sprawdzany okresowo w punktach osnowy geodezyjnej, zgodnie z procedurą laboratorium PZ-6.5 sprawdzanie wewnętrzne WL.
Procedura doboru pionów pomiarowych	Laboratorium przed przystąpieniem do pomiarów wykonało obliczenia rozkładu pól elektromagnetycznych pochodzących od badanej instalacji (z wykorzystaniem superpozycji charakterystyk propagacyjnych (od producenta anten) dla zastosowanych anten z uwzględnieniem topografii terenu, aktualnej zabudowy usługowo-mieszkaniowej oraz parametrów pracy urządzeń i anten otrzymanych od zleceniodawcy), przyjęło strategię pomiarową doboru pionów pomiarowych w oparciu o wykonane obliczenia oraz sporządzony dokument Analiza Obszaru Pomiarowego.
Odległość, do której zostały wykonane pomiary	Pomiary zostały wykonane do odległości, dla której, na podstawie uprzednio przeprowadzonych obliczeń, stwierdzono w miejscach dostępnych dla ludności występowanie pól elektromagnetycznych o najwyższym poziomie, które pochodzą z badanej instalacji.
Pomiary zostały wykonane	1. w miejscach dostępnych dla ludności, w szczególności w tych miejscach, w których, na podstawie uprzednio przeprowadzonych obliczeń, stwierdzono występowanie w danych zakresach częstotliwości pól elektromagnetycznych o poziomach zbliżonych do poziomów dopuszczalnych, określonych w przepisach wydanych na podstawie art. 122 ust. 1 ustawy z dnia 27 kwietnia 2001 r. – Prawo ochrony środowiska. 2. na obszarze pomiarowym, dla którego, na podstawie uprzednio przeprowadzonych obliczeń stwierdzono w miejscach dostępnych dla ludności występowanie pól elektromagnetycznych o najwyższym poziomie, które pochodzą z badanej instalacji zgodnie z wymaganiami pkt 5 ppkt 2 oraz pkt 13 ppkt 1 Rozporządzenia Ministra Klimatu z dnia 17 lutego 2020 r. w sprawie sposobów sprawdzania dotrzymania dopuszczalnych poziomów pól elektromagnetycznych w środowisku (Dz.U. 2022 poz. 2630). Wyniki obliczeń nie uwzględniały parametrów pracy instalacji innych operatorów występujących na obiekcie bądź w obszarze pomiarowym. 3. na głównych i pomocniczych kierunkach pomiarowych, na kierunkach zbliżonych do azymutów anten oraz w dodatkowych pionach pomiarowych zgodnie z wymaganiami pkt 13, 14 i 19 Rozporządzenia Ministra Klimatu z dnia 17 lutego 2020 r. (Dz.U. 2022 poz. 2630). 4. miejsca niedostępne podczas wykonywania pomiarów wskazane zostały w pkt 6 (tabeli wyniki pomiarów) 5. w dodatkowych pionach pomiarowych w lokalach oraz na balkonach i tarasach, na których mogą przebywać ludzie, po poinformowaniu o planowanych pomiarach z minimum 3-dniowym wyprzedzeniem i po umożliwieniu dostępu do lokalu, balkonu lub tarasu przez jego dysponenta lub bez zachowania terminu wskazanego w pierwszej części zdania za zgodą dysponenta przestrzeni pomiarowej..
Dobór dodatkowych pionów pomiarowych w lokalach oraz na balkonach i tarasach	Dodatkowe piony pomiarowe w lokalach, na balkonach i tarasach zostały wybrane zgodnie z procedurą laboratorium nr PP 7.3/7.4/7.5-11 drogą metod obliczeniowych, z uwzględnieniem: rodzaju badanej instalacji (w tym parametrów technicznych instalacji), lokalizacji badanej instalacji, ukształtowania terenu wokół badanej instalacji. Na podstawie obliczeń nie stwierdzono w lokalach, na balkonach i tarasach wartości nie mniejszych niż poziomów dopuszczalnych określonych w przepisach wydanych na podstawie art. 122 ust. 1 ustawy z dnia 27 kwietnia 2001 r. – Prawo ochrony środowiska.

„Bez pisemnej zgody Laboratorium niniejsze sprawozdanie nie może być powielane inaczej, jak tylko w całości. Ponadto wyniki dotyczą tylko badanych obiektów przywołanych w niniejszym sprawozdaniu z badań”

Sposób powiadamiania dysponentów	Zgodnie z pkt 14 Rozporządzenia Ministra Klimatu z dnia 17 lutego 2020 r. w sprawie sposobów sprawdzania dotrzymania dopuszczalnych poziomów pól elektromagnetycznych w środowisku (Dz.U. 2022 poz. 2630). Informacji dokonuje się poprzez rządowy portal internetowy SI2PEM (https://si2pem.gov.pl) lub zawiadomienie spółdzielni mieszkaniowej, zarządcy nieruchomości, zarządu wspólnoty, umieszczenie informacji o planowanych pomiarach na tablicach ogłoszeń w klatkach schodowych bloków lub na drzwiach wejściowych, przekazanie zawiadomienia do administracji lub recepcji obiektu, pozostawienie informacji w skrzynkach pocztowych itp. lub przekazanie osobiste.
Warunki pracy urządzeń nadawczych	Tryb pracy eksploatacyjny.

4. Zróżnicowanie dopuszczalne poziomy pól elektromagnetycznych.

Zakresy znajdują się w Dzienniku Ustaw z dnia 17 grudnia 2019 r. przestawione są w tabeli nr 2 (Dz. U. z 2019r. poz. 2448).

Zakres częstotliwości pola elektromagnetycznego	Parametr fizyczny		
	Składowa elektryczna E (V/m)	Składowa magnetyczna H (A/m)	Gęstość mocy S (W/m2)
od 400 MHz do 2000 MHz	$1{,}375 \times f^{0,5}$	$0{,}0037 \times f^{0,5}$	f / 200
od 2 GHz do 300 GHz	61	0,16	10

5. Charakterystyka źródeł PEM.

Zgodnie z informacja otrzymaną od klienta pomiary zostały wykonane przy ustawieniach pochylenia anten zgodnych z pkt. 13, ppkt 2 załącznika do rozporządzenia Ministra Klimatu z dnia 17 lutego 2020 roku.

Tabela 1. Anteny sektorowe - dane otrzymane od klienta

Charakterystyka promieniowania		kierunkowa									
Rzeczywisty czas pracy [h/dobę]		24									
Rodzaj wytwarzanego pola		stacjonarne									
Lp.	Wyszczególnienie	sektor 1					sektor 2				
I	Nadajnik stacji bazowej:										
1	Typ / Producent	RBS / SRAN Ericsson									
2	Częstotliwość (pasmo) MHz	2600	1800	800	2100	900	2600	1800	800	2100	900
3	Maksymalna moc nadawana na sektor [dBm]	52,05	50	46,02	49,54	47,78	52,05	50	46,02	49,54	47,78
II	Obciążenie:										
1	Typ anteny	Huawei ADU4518R6	Huawei ADU4518R8		Huawei ADU4518R8		Huawei ADU4518R6	Huawei ADU4518R8		Huawei ADU4518R8	
2	Producent anteny	Huawei	Huawei		Huawei		Huawei	Huawei		Huawei	
3	Nazwa anteny	13_O	11_DLV	11_DLV	12_GKN	12_GKN	23_O	21_DLV	21_DLV	22_GKN	22_GKN
4	Ilość anten	1	1		1		1	1		1	
5	Azymut	0					110				
6	Zakres kątów pochylenia anten [°]	0,00-12,00	2,00-12,00	0,00-10,00	2,00-12,00	0,00-10,00	0,00-12,00	2,00-12,00	0,00-10,00	2,00-12,00	0,00-10,00
7	Wysokość zainst. n.p.t. [m]	59,00					59,00				
8	EIRP [W]	9852	6757		7943		9852	6757		7943	

„Bez pisemnej zgody Laboratorium niniejsze sprawozdanie nie może być powielane inaczej, jak tylko w całości. Ponadto wyniki dotyczą tylko badanych obiektów przywołanych w niniejszym sprawozdaniu z badań”

Charakterystyka promieniowania		kierunkowa				
Rzeczywisty czas pracy [h/dobę]		24				
Rodzaj wytwarzanego pola		stacjonarne				
Lp.	Wyszczególnienie	sektor 3				
I	Nadajnik stacji bazowej:					
1	Typ / Producent	RBS / SRAN Ericsson				
2	Częstotliwość (pasmo) MHz	800	2600	2100	1800	900
3	Maksymalna moc nadawana na sektor [dBm]	49,03	49,03	49,54	50	47,78
II	Obciążenie:					
1	Typ anteny	Huawei ADU4517R6	Huawei ADU4518R6		Huawei ADU4518R8	
2	Producent anteny	Huawei	Huawei		Huawei	
3	Nazwa anteny	31_V	33_NO	33_NO	32_DGKL	32_DGKL
4	Ilość anten	1	1		1	
5	Azymut	230				
6	Zakres kątów pochylenia anten [°]	0,00-10,00	0,00-12,00	0,00-12,00	2,00-12,00	0,00-10,00
7	Wysokość zainst. n.p.t. [m]	59,00				
8	EIRP [W]	3428	9953		8062	

Tabela 2. Anteny radioliniowe - dane otrzymane od klienta

Charakterystyka promieniowania				kierunkowa			
Rzeczywisty czas pracy [h/dobę]				24			
Rodzaj wytwarzanego pola				stacjonarne			
Lp.	Linia radiowa			Antena			
	typ/producent	częstotliwość pracy [GHz]	moc wyjściowa [dBm]	typ/producent	średnica anteny [m]	azymut [°]	wysokość zainstalowania n.p.t. [m] (środek elektryczny anteny)
1	OPTIX RTN/HUAWEI	80/23	18/25	A23S80S06/Huawei	0,6	102	56,00
2	OPTIX RTN/HUAWEI	80/23	18/25	A23S80S06/Huawei	0,6	178	56,00
3	OPTIX RTN/HUAWEI	80	18	A80S06/Huawei	0,6	246	56,30

6. Wyniki pomiarów.

Wyniki pomiarów pól elektromagnetycznych dla celów ochrony środowiska przedstawia poniższa tabela. Piony pomiarowe zostały przedstawione w zał. 2.

Nr PP	Pole-E [V/m]	Pole-E+U [V/m]	Pole-H [A/m]	Pole-H +U [A/m]	Wysokość pomiaru [m]	Współrzędne PP x , y	Opis PP	WM_E	WM_H
1	0,8*	1,28	0,002	0,003	0,3 - 2,0	53°31'11.1"N 22°18'43.9"E	otoczenie stacji bazowej wzdłuż gł. osi promieniowania - GKP	0,046	0,046
2	0,8*	1,28	0,002	0,003	0,3 - 2,0	53°31'10.0"N 22°18'49.0"E	otoczenie stacji bazowej wzdłuż gł. osi promieniowania - GKP	0,046	0,046
3	0,8*	1,28	0,002	0,003	0,3 - 2,0	53°31'08.4"N 22°18'53.6"E	otoczenie stacji bazowej wzdłuż gł. osi promieniowania - GKP	0,046	0,046
4	0,8*	1,28	0,002	0,003	0,3 - 2,0	53°31'07.0"N 22°19'02.2"E	otoczenie stacji bazowej wzdłuż gł. osi promieniowania - GKP	0,046	0,046
5	0,8*	1,28	0,002	0,003	0,3 - 2,0	53°31'04.8"N 22°19'08.7"E	otoczenie stacji bazowej wzdłuż gł. osi promieniowania - GKP	0,046	0,046
6	0,8*	1,28	0,002	0,003	0,3 - 2,0	53°31'09.9"N 22°18'41.2"E	otoczenie stacji bazowej wzdłuż gł. osi promieniowania - GKP	0,046	0,046

„Bez pisemnej zgody Laboratorium niniejsze sprawozdanie nie może być powielane inaczej, jak tylko w całości. Ponadto wyniki dotyczą tylko badanych obiektów przywołanych w niniejszym sprawozdaniu z badań”

Nr PP	Pole-E [V/m]	Pole-E+U [V/m]	Pole-H [A/m]	Pole-H +U [A/m]	Wysokość pomiaru [m]	Współrzędne PP x , y	Opis PP	WM_E	WM_H
7	0,8*	1,28	0,002	0,003	0,3 - 2,0	53°31'06.6"N 22°18'41.2"E	otoczenie stacji bazowej wzdłuż gł. osi promieniowania - GKP	0,046	0,046
8	0,8*	1,28	0,002	0,003	0,3 - 2,0	53°31'10.6"N 22°18'39.2"E	otoczenie stacji bazowej wzdłuż gł. osi promieniowania - GKP	0,046	0,046
9	0,8*	1,28	0,002	0,003	0,3 - 2,0	53°31'11.0"N 22°18'38.7"E	otoczenie stacji bazowej wzdłuż gł. osi promieniowania - GKP	0,046	0,046
10	0,8*	1,28	0,002	0,003	0,3 - 2,0	53°31'10.0"N 22°18'33.8"E	otoczenie stacji bazowej wzdłuż gł. osi promieniowania - GKP	0,046	0,046
11	0,8*	1,28	0,002	0,003	0,3 - 2,0	53°31'08.4"N 22°18'34.7"E	otoczenie stacji bazowej wzdłuż gł. osi promieniowania - GKP	0,046	0,046
12	0,9	1,44	0,002	0,004	0,3 - 2,0	53°31'06.5"N 22°18'30.6"E	otoczenie stacji bazowej wzdłuż gł. osi promieniowania - GKP	0,052	0,052
13	0,9	1,44	0,002	0,004	0,3 - 2,0	53°31'04.6"N 22°18'26.4"E	otoczenie stacji bazowej wzdłuż gł. osi promieniowania - GKP	0,052	0,052
14	1,1	1,76	0,003	0,005	0,3 - 2,0	53°31'02.8"N 22°18'22.0"E	otoczenie stacji bazowej wzdłuż gł. osi promieniowania - GKP	0,064	0,064
15	0,8*	1,28	0,002	0,003	0,3 - 2,0	53°31'13.2"N 22°18'41.4"E	otoczenie stacji bazowej wzdłuż gł. osi promieniowania - GKP	0,046	0,046
16	0,8*	1,28	0,002	0,003	0,3 - 2,0	53°31'15.9"N 22°18'42.1"E	otoczenie stacji bazowej wzdłuż gł. osi promieniowania - GKP	0,046	0,046
17	0,8	1,28	0,002	0,003	0,3 - 2,0	53°31'19.7"N 22°18'41.7"E	otoczenie stacji bazowej wzdłuż gł. osi promieniowania - GKP	0,046	0,046
18	0,8*	1,28	0,002	0,003	0,3 - 2,0	53°31'23.0"N 22°18'42.4"E	otoczenie stacji bazowej wzdłuż gł. osi promieniowania - GKP	0,046	0,046
19	0,8	1,28	0,002	0,003	0,3 - 2,0	53°31'26.2"N 22°18'42.8"E	otoczenie stacji bazowej wzdłuż gł. osi promieniowania - GKP	0,046	0,046
20	1,0	1,60	0,003	0,004	0,3 - 2,0	53°31'29.8"N 22°18'42.8"E	otoczenie stacji bazowej wzdłuż gł. osi promieniowania - GKP	0,058	0,058
A	0,8*	1,28	0,002	0,003	0,3 - 2,0	53°31'06.2"N 22°19'02.0"E	Mazowiecka 86, teren posesji na zewnątrz na poziomie parteru – przed otworem okiennym - DPP	0,046	0,046
B	0,8*	1,28	0,002	0,003	0,3 - 2,0	53°31'05.0"N 22°19'05.2"E	Mazowiecka 15, teren posesji na zewnątrz na poziomie parteru – przed otworem okiennym - DPP	0,046	0,046
C	0,8	1,28	0,002	0,003	0,3 - 2,0	53°31'27.5"N 22°18'41.5"E	Henryka Sienkiewicza 29, teren posesji na zewnątrz na poziomie parteru – przed otworem okiennym - DPP	0,046	0,046

Wynik pomiaru pole - E [V/m] - maksymalna wartość chwilowa zmierzona w danym pionie pomiarowym (uśredniona na podstawie punktu 11 załącznika do Rozporządzenia Ministra Klimatu z dnia 17 lutego 2020 r. w sprawie sposobów sprawdzania dotrzymania dopuszczalnych poziomów pól elektromagnetycznych w środowisku (Dz.U. 2022 poz. 2630)). Zgodnie z pkt. 7 załącznika do Rozporządzenia Ministra Klimatu z dnia 17 lutego 2020 r. w sprawie sposobów sprawdzania dotrzymania dopuszczalnych poziomów pól elektromagnetycznych w środowisku (Dz.U. 2022 poz. 2630) nie stosuje się poprawek pomiarowych.
Przyjęto najniższą dopuszczalną wartość składowej elektrycznej pola dla objętego pomiarami zakresu częstotliwości min(MEgr)= 28 V/m oraz składowej magnetycznej min(MHgr)= 0,073 A/m.

* - wartość zmierzona poniżej zakresu akredytacji. Do obliczeń przyjęto wartość zgodną z dolną granicą akredytowanego zakresu pomiarowego metody.

GKP - główne kierunki pomiarowe

PKP - pomocnicze kierunki pomiarowe

DPP - dodatkowe punkty pomiarowe

PP - pion pomiarowy

U - niepewność pomiarowa rozszerzona, przy poziomie ufności 95%, z uwzględnieniem współczynnika rozszerzenia k=2

WM_E - wartość wskaźnikowa poziomu emisji pól elektromagnetycznych dla miejsc dostępnych dla ludności dla składowej elektrycznej pola

WM_H - wartość wskaźnikowa poziomu emisji pól elektromagnetycznych dla miejsc dostępnych dla ludności dla składowej magnetycznej pola

„Bez pisemnej zgody Laboratorium niniejsze sprawozdanie nie może być powielane inaczej, jak tylko w całości. Ponadto wyniki dotyczą tylko badanych obiektów przywołanych w niniejszym sprawozdaniu z badań”

7. Stwierdzenie zgodności

Na podstawie wytycznych podanych w Rozporządzeniu Ministra Zdrowia z dnia 17 grudnia 2019 r. w sprawie dopuszczalnych poziomów pól elektromagnetycznych w środowisku (Dz.U. 2019 poz. 2448) oraz sposobów sprawdzania dotrzymania tych poziomów zgodnie z Rozporządzeniem Ministra Klimatu z dnia 17 lutego 2020 r. w sprawie sposobów sprawdzania dotrzymania dopuszczalnych poziomów pól elektromagnetycznych w środowisku (Dz.U. 2022 poz. 2630), dotyczących źródła wymagań, które muszą być spełnione, w oparciu o zasadę podejmowania decyzji zgodną z pkt. 26 Rozporządzenia Ministra Klimatu z dnia 17 lutego 2020 r. (Dz.U. 2022 poz. 2630), na podstawie wyników pomiarów pól elektromagnetycznych wykonanych w dniu 13.11.2026 r. stwierdzono, że wszystkie wyniki przeprowadzonych pomiarów w danym obszarze pomiarowym oraz wyznaczone na tej postawie wskaźniki WM_E oraz WM_H są mniejsze od wartości dopuszczalnych – zgodnie z przepisami wydanymi na podstawie art. 122 ust. 1 ustawy z dnia 27 kwietnia 2001 r. – Prawo ochrony środowiska – załącznikiem do Rozporządzenia Ministra Klimatu i Środowiska z dnia 17 lutego 2020 r. w sprawie sposobów sprawdzania dotrzymywania dopuszczalnych poziomów pól elektromagnetycznych w środowisku (Dz.U. 2022 poz. 2630, pkt 26).

8. Oświadczenie.

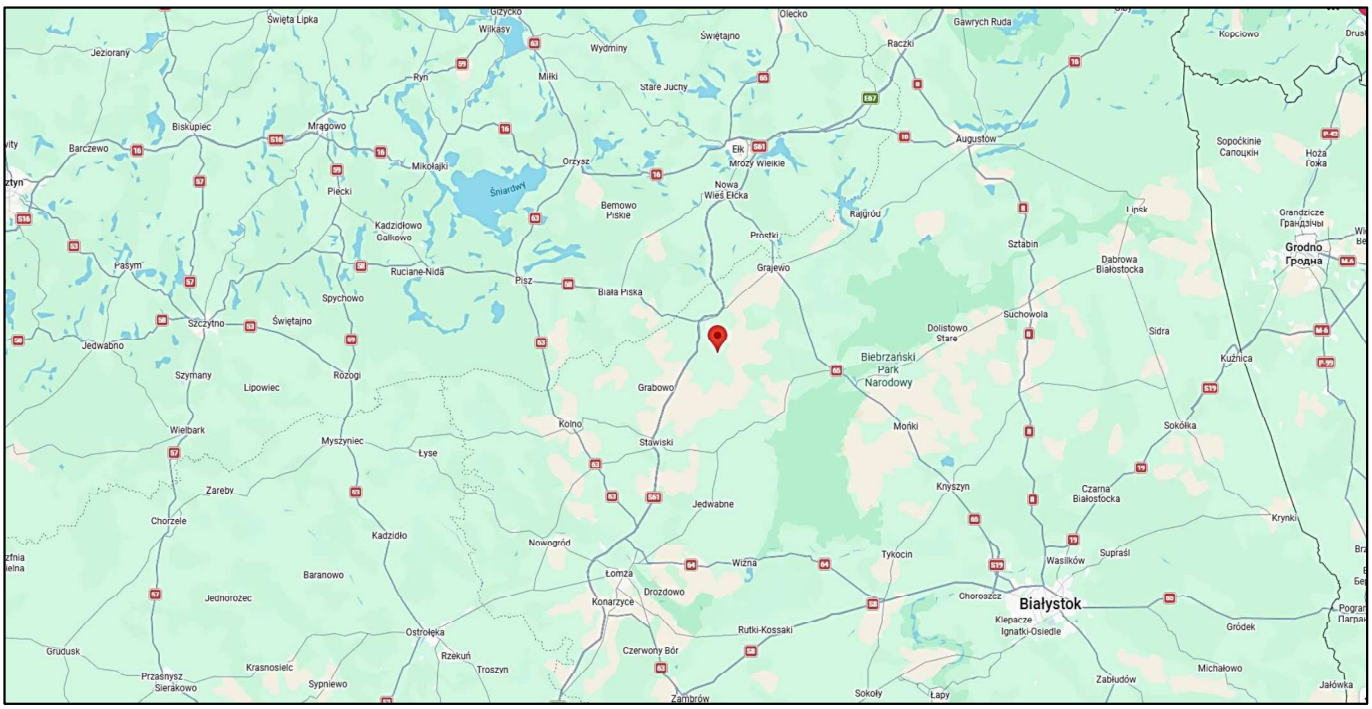
Wyniki badania odnoszą się wyłącznie do badanego obiektu.
Bez pisemnej zgody sprawozdanie nie może być powielane inaczej, jak tylko w całości.
Uwagi i zastrzeżenia przyjmowane są w formie pisemnej.

9. Spis załączników.

Zał. 1. Lokalizacja obiektu.
Zał. 2. Widok pionów pomiarowych
Zał. 3. Załączniki graficzne

Koniec sprawozdania

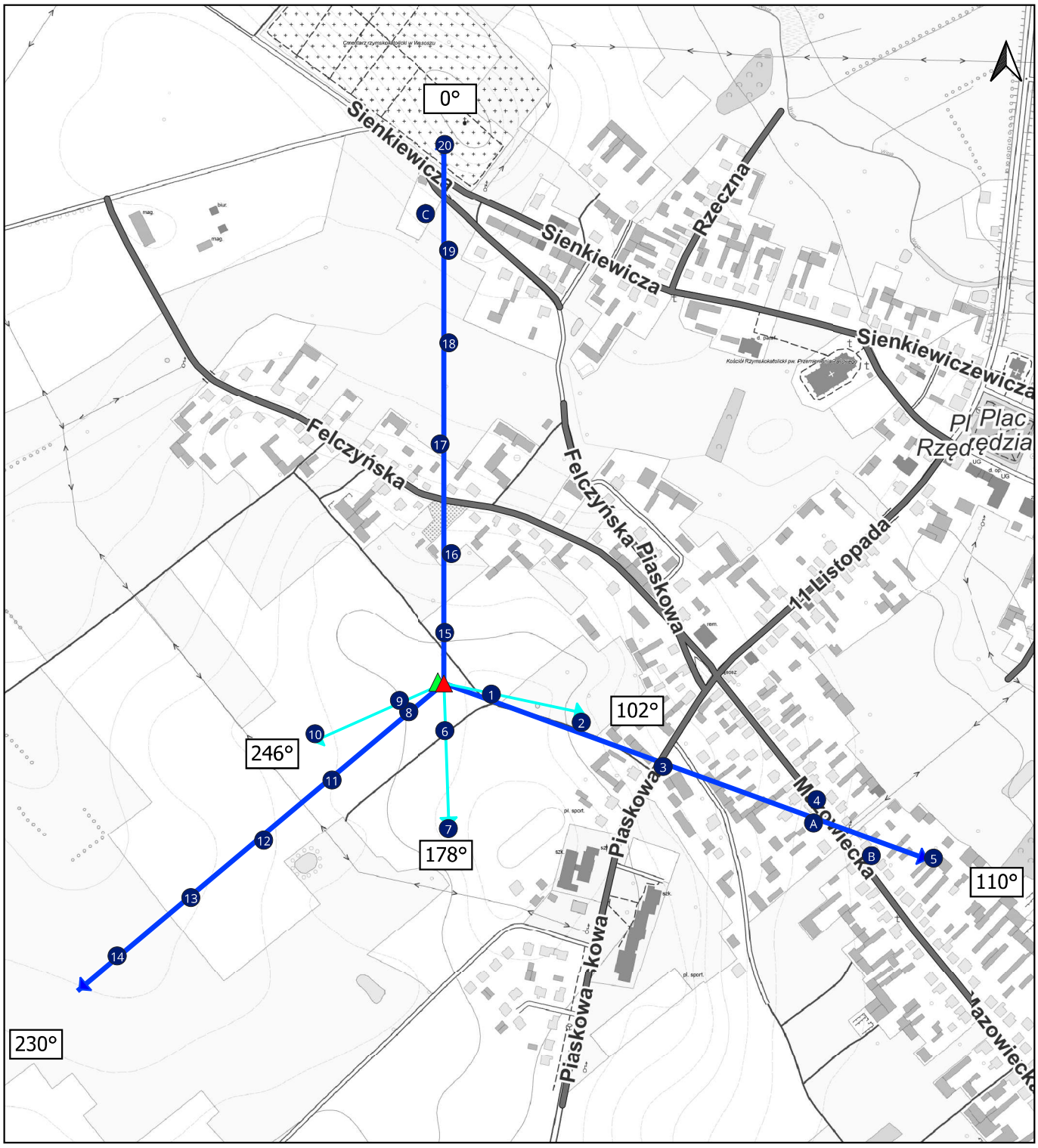
Zał. 1. Lokalizacja obiektu



Współrzędne geograficzne – informacja od klienta	
szerokość:	53°31'11.54"N
długość:	22°18'41.39"E

„Bez pisemnej zgody Laboratorium niniejsze sprawozdanie nie może być powielane inaczej, jak tylko w całości. Ponadto wyniki dotyczą tylko badanych obiektów przywołanych w niniejszym sprawozdaniu z badań”

Zał. 2. Widok pionów pomiarowych



LEGENDA:

- pion pomiarowy
- inna instalacja radiokomunikacyjna
- instalacja radiokomunikacyjna dla której wykonano pomiar
- antena sektorowa
- antena radioliniowa
- brak dostępu

0 100 200 m

Skala: 1:6000

Pomiary wykonano do odległości:
- dla az. 0 - 570 metrów
- dla az. 110 - 540 metrów
- dla az. 230 - 500 metrów

„Bez pisemnej zgody Laboratorium niniejsze sprawozdanie nie może być powielane inaczej, jak tylko w całości. Ponadto wyniki dotyczą tylko badanych obiektów przywołanych w niniejszym sprawozdaniu z badań”
21/11/OŚ/2026-P4-W

Zał. 3. Załączniki graficzne.



„Bez pisemnej zgody Laboratorium niniejsze sprawozdanie nie może być powielane inaczej, jak tylko w całości. Ponadto wyniki dotyczą tylko badanych obiektów przywołanych w niniejszym sprawozdaniu z badań”